

Jan CISEK, Leszek TRYBUS

POLITECHNIKA RZESZOWSKA, KATEDRA INFORMATYKI I AUTOMATYKI

## Automatyczna konfiguracja sekwencyjnego układu sterowania

Dr inż. Jan CISEK

Absolwent Wydziału Elektrycznego Politechniki Rzeszowskiej (1990). Pracę doktorską obronił z wyróżnieniem na Wydziale Elektrotechniki, Automatyki, Informatyki i Elektroniki AGH Kraków w 2004 r. Od 1994 jest asystentem, a obecnie adiunktem w Katedrze Informatyki i Automatyki Politechniki Rzeszowskiej. Jego zainteresowania skupiają się na problematyce weryfikacji poprawności oprogramowania sterowników. Jest autorem lub współautorem 8 publikacji.

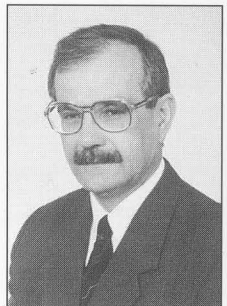
e-mail: cisek@prz-rzeszow.pl



Prof. dr hab. inż. Leszek TRYBUS

Kierownik Katedry Informatyki i Automatyki Politechniki Rzeszowskiej. Ukończył AGH Kraków (1970), gdzie również uzyskał doktorat, habilitację i tytuł. Od ukończenia studiów pracuje w Politechnice Rzeszowskiej. Autor ok. 130 publikacji. Zajmuje się regulatorami mikroprocesorowymi, rozproszonymi systemami sterowania i zastosowaniami informatyki.

e-mail: ltrybus@prz-rzeszow.pl



### Streszczenie

Przedstawiono metodę automatycznego tworzenia schematu bloków funkcyjnych dla sterownika PLC, przy użyciu języka funkcyjnego ML. Opisano podstawowe elementy metody na przykładzie sekwencyjnego układu sterowania. Rozważono przykład generacji układu sterowania przejazdem kolejowym ostatecznie zaimplementowany w sterowniku wielofunkcyjnym PSW-166.

### Abstract

The method of automatic generation of function block diagram for a PLC using ML functional language is considered. A sequential control problem has been used to present fundamental elements of the method. Railway crossing control and PSW-166 multifunction controller are applied in the example.

**Słowa kluczowe:** metoda bloków funkcyjnych FBD, automatyczna konfiguracja, sterownik programowalny PLC, język funkcyjny ML.

**Keywords:** function block diagram (FBD), automatic configuration, PLC controller, ML functional language.

## 1. Wstęp

Sterowniki mikroprocesorowe, w tym programowalne sterowniki logiczne PLC (*Programmable Logic Controllers*) stały się obecnie powszechne. Znajdują zastosowania w energetyce, komunikacji i ochronie środowiska. W ostatnich latach opracowano normę IEC 61131 [1,2] standaryzującą programowanie sterowników. Jednym ze zdefiniowanych w niej języków programowania są schematy bloków funkcyjnych FBD (*Function Block Diagram*), w których algorytm sterowania przedstawia się graficznie w formie połączonych bloków.

W praktycznych aplikacjach dany jest słowny lub analityczny opis funkcjonowania układu stanowiący specyfikację. Zadaniem projektanta jest wygenerowanie konfiguracji w postaci schematu FBD. Jeżeli schemat FBD jest generowany automatycznie na podstawie wzoru analitycznego, to mamy do czynienia z tzw. automatyczną konfiguracją sterownika.

Jako platforma narzędziowa do rozwiązania postawionego problemu posłużył język funkcyjny ML [3]. Znajduje on zastosowanie do weryfikacji programów i modelowania sieci Petriego [4]. Powstał w nim także model sterownika PLC konfigurowanego metodą FBD [5,6].

Poniżej przedstawiono sposób realizacji układu sekwencyjnego wyspecyfikowanego jako automat Mealy'ego. Jako przykład posłużył układ sterowania zaporami na dwutorowym przejeździe kolejowym. Otrzymany automatycznie schemat bloków funkcyjnych zrealizowano w przemysłowym sterowniku mikroprocesorowym PSW-166 produkowanym przez ZPDA Ostrów Wlkp.

## 2. Specyfikacja analityczna

**Specyfikacja.** Opis funkcjonowania układu sterowania podaje się w języku naturalnym lub formalnym. Praca jest ograniczona do

logicznych układów sekwencyjnych. Przyjęto, że specyfikacją układu tego typu jest zbiór formuł logicznych, które należy spełnić.

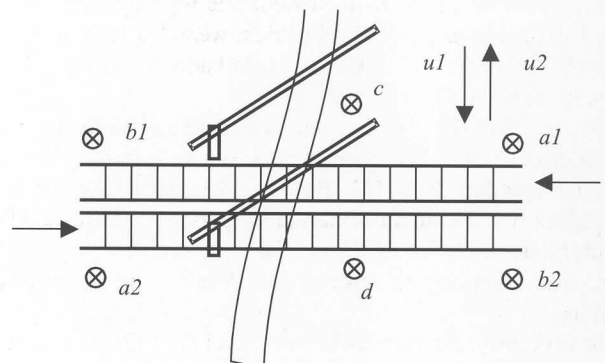
**Automat Mealy'ego.** Dalsze rozważania dotyczą realizacji asynchronicznego automatu Mealy'ego uważanego za bardziej ogólny od automatu Moore'a. Jest on specyfikowany przez podanie funkcji przejść i wyjść:

$$S_i = \delta(X_i, S_{i-1}) \quad \text{– funkcja przejść,}$$

$$Y_i = \lambda(S_i, X_i) \quad \text{– funkcja wyjść,}$$

gdzie  $X$  i  $Y$  są wektorami wejść i wyjść, a  $S$  oznacza zbiór stanów wewnętrznych. Funkcje  $\delta$  i  $\lambda$  są kombinacyjne. W funkcji przejść argumentem oprócz wektora wejść jest wektor poprzednich stanów  $S_{i-1}$ . Jest on zwykle zapamiętywany w przerzutnikach, które będą tutaj jedynymi sekwencyjnymi elementami układu.

**Przykład.** W układzie sterowania zaporami na przejeździe kolejowym pokazanym na rys. 1 znajdują się czujniki sygnalizujące:  $a_1, a_2$  - zbliżanie pociągu jadącego w lewo lub w prawo,  $b_1, b_2$  - oddalanie pociągu,  $c, d$  - stan otwarcia i zamknięcia zapor (wył. krańcowe).



Rys. 1. Dwutorowy przejazd kolejowy  
Fig. 1. Dual track railway cross

Sygnaly  $u_1$  i  $u_2$  sterują odpowiednio opuszczaniem i podnoszeniem zapor. Przyjęto, że na każdym torze ruch jest jednokierunkowy.

**Analiza.** Do rozwiązania zadania pomocne jest wprowadzenie dwóch dodatkowych sygnałów  $p_1$  i  $p_2$  informujących o tym, że w strefie przejazdu pomiędzy czujnikami  $a, b$  znajdują się pociągi jadące w lewo lub w prawo. Zakłada się, że  $p_1$  przyjmuje wartość true, gdy nadjeżdża pociąg z prawej (czujnik  $a_1$ ). Po opuszczeniu strefy przejazdu (czujnik  $b_1$ ) sygnał  $p_1$  wynosi false. Analogicznie definiuje się  $p_2$  dla drugiego toru. Sygnaly  $p_1$  i  $p_2$  określają stan układu.

Na podstawie powyższej analizy można zdefiniować następujące funkcje przejść:

$$p1_i \Leftrightarrow a1_i \vee p1_{i-1} \wedge \neg b1_i, \quad p2_i \Leftrightarrow a2_i \vee p2_{i-1} \wedge \neg b2_i \quad (1a,b)$$

Jak widać,  $p1$  określono jako alternatywę sygnału  $a1$  oraz koniunkcji poprzedniej wartości  $p1$  i negacji aktualnej wartości  $b1$ . Podobnie oblicza się wartość  $p2$ .

Sygnal sterowania opuszczaniem zapór  $u1$  powinien się pojawić, gdy w strefie przejazdu znajduje się co najmniej jeden pociąg, a zapory nie są zamknięte. Zatem

$$u1_i \Leftrightarrow (p1_i \vee p2_i) \wedge \neg d_i \quad (2)$$

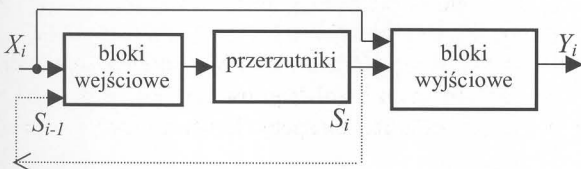
Jak zapisano w (2) aktualna wartość sterowania  $u1$  zależy od bieżących wartości  $p1$  i  $p2$  reprezentujących stany automatu i wejścia  $d$ .

Podnoszenie następuje, gdy w strefie nie ma żadnego pociągu i zapory nie są w pozycji górnej, czyli

$$u2_i \Leftrightarrow \neg(p1_i \vee p2_i) \wedge \neg c_i \quad (3)$$

### 3. Realizacja automatu sekwencyjnego

**Budowa automatu.** Ogólny schemat blokowy realizacji automatu Mealy'ego przez sterownik pokazano na rys. 2.



Rys. 2. Automat Mealy'ego  
Fig. 2. Mealy automat

Bloki wejściowe wraz z przerzutnikami realizują funkcje przejść. Na wyjściach przerzutników są wartości odpowiadające stanom  $S_i$ . Bloki wyjściowe wyznaczają wartości wyjść  $Y_i$ .

**Język ML.** Narzędziem do automatycznej generacji konfiguracji będzie język funkcyjny ML posiadający następujące cechy:

- pełna kontrola zgodności typów,
- sprawdzanie kompletności wyrażeń i funkcji,
- wbudowany typ listowy,
- mechanizm generowania i obsługi wyjątków,
- niezależnienie od platformy sprzętowej.

W pakiecie MOSML [7] oprócz kompilatora dostępny jest interaktywny interpreter. Ułatwia on śledzenie wykonywania programów oraz modyfikacje. W skład pakietu wchodzi także programy MOSMLEX i MOSMLYAC służące do budowy analizatorów leksykalnych i składniowych.

**Notacja.** Specyfikację automatu zapisuje się tekstowo. Składnia wyrażeń jest zbliżona do stosowanej w systemach programowania układów PLD [8]. Przyjęto, że sygnały wewnętrzne określające stan automatu deklaruje się przy użyciu słowa STAN i identyfikatora. W funkcjach przejść i wyjść symbole /, +, \* i ' (prim) oznaczają negację, alternatywę, koniunkcję i wartość poprzednią.

**Plik źródłowy.** Na podstawie zależności (1) i (2) można utworzyć plik specyfikujący zgodnie z regułami podanymi wyżej. Najpierw deklaruje się identyfikatory oznaczające stany wewnętrzne  $p1$ ,  $p2$ , a następnie funkcje przejść i wyjść. Wzory (1) i (2) wyglądają teraz następująco

```

STAN p1          (* definicja stanu *)
STAN p2
p1 = a1 + p1' * /b1 ; (* funkcje przejść: (1a) *)
p2 = a2 + p2' * /b2 ; (* (1b) *)
u1 = p1 + p2 * /d ; (* funkcja wyjścia (2) *)

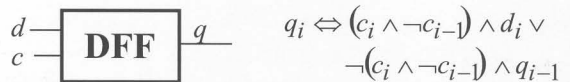
```

Specyfikacja  $u2$  wygląda podobnie. Powyższy plik specyfikujący zostanie dalej przetworzony na konfigurację.

**Realizacja w sterowniku.** Zakłada się, że obliczenia są wykonywane sekwencyjnie w pętli nieskończonej w następujący sposób:

- pobranie wartości wejść obiektowych,
- obliczenie kolejnych bloków schematu FBD,
- ustawienie wyjść obiektowych.

W realizacji przyjęto, że podstawowym elementem sekwencyjnym układu jest przerzutnik typu D, który wraz ze specyfikacją pokazano na rys. 3.



Rys. 3. Przerzutnik D i jego specyfikacja  
Fig. 3. D flip flop and its specification

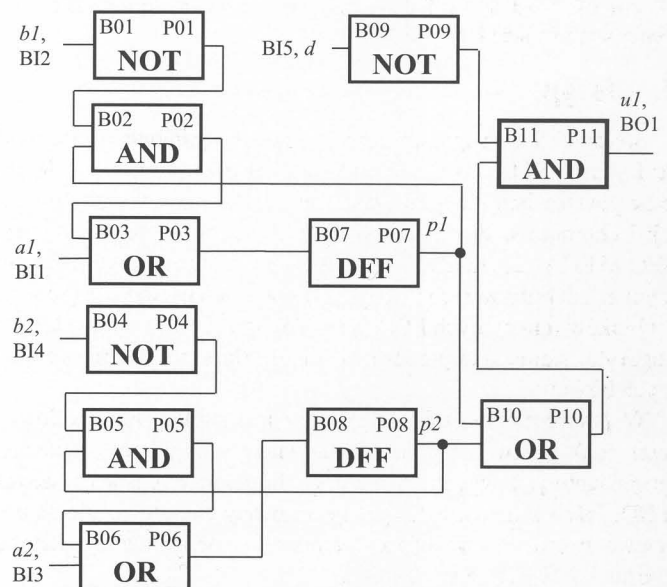
Wartość wejścia  $d$  jest przepisywana na wyjście  $q$  przy narastającym zboczku zegara  $c$ . W przeciwnym razie  $q$  zachowuje wartość poprzednią. W układzie asynchronicznym przy pominięciu sygnału zegarowego  $c$  ( $c_i \wedge \neg c_i \Leftrightarrow \text{true}$ ) przerzutnik D w każdym kolejnym cyklu sterownika przepisuje sygnał wejściowy na wyjście ( $c_i \Leftrightarrow d_i$ ).

**Przekształcenia.** Do przetwarzania pliku specyfikującego i tworzenia konfiguracji powstał program utworzony z pomocą narzędzi MOSMLEX i MOSMLYAC. Program ten wykonuje następujące zadania:

- analiza leksykalna i składniowa deklaracji automatu, wyodrębnienie symboli i analiza funkcji,
- przypisanie symboli wejść i wyjść (zapisywanych w listach) do wejść i wyjść obiektowych sterownika,
- realizacja kombinacyjnych funkcji przejść (wzburzeń przerzutników D) i funkcji wyjść za pomocą bloków funkcyjnych,
- generacja schematu FBD układu sterowania.

Do przetwarzania użyto listowych typów danych, funkcji rekurencyjnych oraz własnych typów danych. Otrzymany program dzięki cechom języka ML jest względnie krótki i nie ma ograniczeń na rozmiar realizowanej konfiguracji.

**Konfiguracja.** Po uruchomieniu programu otrzymuje się plik z konfiguracją sterownika przedstawioną graficznie na rys. 4.



Rys. 4. Układ sterowania zaporami na przejeździe kolejowym  
Fig. 4. Control system of railway cross

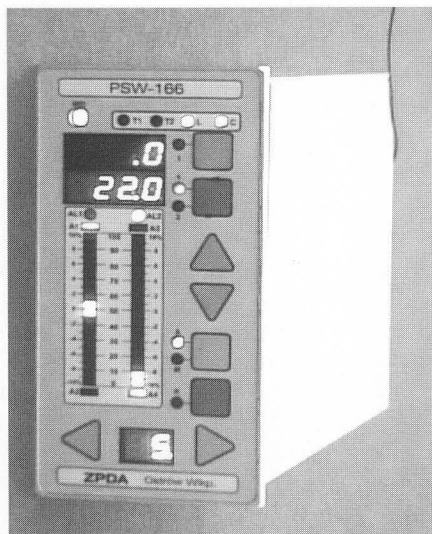
Postać schematu jest podobna jak dla sterowników SIPART Siemens [9] i zgodna z metodą bloków funkcyjnych FBD. W lewym górnym rogu bloku znajduje się jego nazwa, np. B01, a w prawym tzw. "pozycja", np. P01, określająca kolejność obliczeń.

Bloki B01-B03 wyznaczają funkcję wzbudzenia przerzutnika D (B07) zdefiniowaną w (1a). Na wyjściu B07 otrzymuje się sygnał  $p1$ . Do wejścia bloku B02 przyłączono wyjście bloku B07, który w bieżącym cyklu nie był jeszcze wykonywany (sprzężenie zwrotne), gdyż pozycja P07 następuje po P02. Zatem wyjście to reprezentuje wartość  $p1$  z poprzedniego cyklu. Analogiczną funkcję pełnią bloki B04-B06 i B08 dla sygnału  $p2$  realizując zależność (1b). Funkcję wyjścia (2) realizują bloki B09, B10 i B11.

#### 4. Implementacja w sterowniku PSW

Opisywane algorytmy i programy zostały przystosowane do sterownika wielofunkcyjnego PSW [9].

**Cechy ogólne i zastosowania.** Wytwarzane od 11 lat sterowniki PSW (rys. 5) są urządzeniami aparaturowymi konfigurowanymi z bloków funkcyjnych. Liczba sygnałów obiektowych w PSW-166 (3-ciej generacji) wynosi 56. Łącząc kilka sterowników magistralą CAN można realizować systemy rozproszone liczące 300-500 sygnałów.



Rys. 5. Sterownik wielofunkcyjny PSW-166  
Fig. 5 PSW-166 multifunction controller

**Charakterystyka konfiguracji.** Konfiguracja PSW jest podawana tekstowo w postaci listy. Jej elementy są następujące:

- nazwy etapów konfiguracji: DEFN, CONN, POSN (definiowanie, łączenie i kolejność)
- oznaczenia bloków B01, B02,...
- wejścia, np. B01.1 (pierwsze wejście bloku pierwszego)
- wyjścia, np. B01.b (boolowskie wyjście bloku pierwszego)
- funkcje: NOT, AND, OR,...
- kolejność obliczeń (pozycja): P01, P02, ...
- wejścia BI1, BI2, ... wyjścia obiektowe BO1, BO2, ...

Część z tych oznaczeń występuje na rys. 5. Dla układu sterującego przejazdem kolejowym lista konfiguracyjna ma postać podaną w tabl. 1. Transformacja schematu graficznego może być wykonana przez graficzny program konfiguracyjny [10].

**Lista konfiguracyjna.** Na rys. 4 podano informacje o przyporządkowaniu symboli ze specyfikacji, tzn. a1, b1, a2, ..., u1 do wejść i wyjść obiektowych sterownika - BI1, BI2, ..., BO1. W tabl. 1, etapie konfiguracji DEFN zdefiniowano 11 bloków funkcyjnych B01-B11 przypisując im funkcje NOT, AND, OR lub DFF. W etapie CONN podano połączenia wejść zdefiniowanych bloków. Ostatni etap POSN określa kolejność obliczeń (pozycję bloku).

Tabl. 1. Lista konfiguracyjna PSW  
Tab. 1. PSW configuration list

DEFN		
B01	NOT	
B02	AND	
B03	OR	
B04	NOT	
B05	AND	
B06	OR	
B07	DFF	
B08	DFF	
B09	NOT	
B10	OR	
B11	AND	
CONN		
B01.1	BI2	
B02.1	B01.b	

B02.2	B07.b
B03.1	B02.b
B03.2	BI1
B04.1	BI4
B05.1	B04.b
B05.2	B08.b
B06.1	B05.b
B06.2	BI3
B07.1	B03.b
B08.1	B06.b
B09.1	BI5
B10.1	B07.b
B10.2	B08.b
B11.1	B09.b
B11.2	B10.b
BO1	B11.b
POSN	
P1	B01
P2	B02
P3	B03
P4	B04
P5	B05
P6	B06
P7	B07
P8	B08
P9	B09
P10	B10
P11	B11

#### 5. Podsumowanie

Przedstawiono metodę automatycznej generacji konfiguracji sekwencyjnego układu sterowania metodą bloków funkcyjnych FBD. Specyfikacja jest podana w formie automatu Mealy'ego. Pokazano sposób realizacji automatu w sterowniku. Omówiono przyjęty sposób zapisu symboli stanów, funkcji przejść i wyjść. Podano krótki opis narzędzi służących do wykonania analizy specyfikacji i przekształcenia jej na konfigurację. Otrzymany program jest względnie krótki i nie ma ograniczeń na rozmiar realizowanej konfiguracji. Jako przykład posłużył układ sterowania zaporami na przejeździe kolejowym. Zrealizowano go w przemysłowym programowalnym sterowniku wielofunkcyjnym PSW-166. Podano zarówno schemat FBD jak i listę konfiguracyjną otrzymanego automatycznie rozwiązania. Jako narzędzie zastosowano język funkcyjny ML.

#### Literatura:

- [1] R. Lewis: Programming Industrial Control Systems Using IEC 1131. IEE Contr. Eng. Series 50, London 1995.
- [2] PN-EN 61131-3: Sterowniki programowalne - Języki programowania. Wyd. Normalizacyjne ALFA-WERO, Warszawa 1998.
- [3] L. C. Paulson: ML for the Working Programmer 2nd ed. Cambridge University Press, Cambridge 2000.
- [4] P. D. Varhol: ML and Colored Petri Nets for Modeling and Simulation, Dr. Dobbs Journal Vol. 16, No 9, Sept. 1991.
- [5] J. Cisek: Zarys metody tworzenia oprogramowania modelu sterownika w języku funkcjonalnym ML. VI Konferencja Systemy Czasu Rzeczywistego'99, Zakopane 1999, 222-229.
- [6] J. Cisek: Weryfikacja poprawności oprogramowania układu sterowania złożonego z bloków funkcyjnych. Rozprawa doktorska, AGH Kraków 2004.
- [7] S. Romanenko, P. Sestoft, Moscow ML Language Overview, Na stronie <http://www.dina.dk/~sestoft/mosml.html> (format pdf).
- [8] C. Zieliński: Podstawy projektowania układów cyfrowych, PWN, Warszawa 2003.
- [9] L. Trybus: Sterowniki wielofunkcyjne, WNT, Warszawa 1992.
- [10] B. Trybus, Z. Świder, L. Trybus: Integrated environment for graphical configuration of programmable controllers. 4th Inst. Sci. Colloq. CAX TECHNIQUES, Bielefeld 1999, 475-482.

**Title:** Automatic configuration of sequential control system

Artykuł recenzowany